

## **BAB III**

### **METODE PENELITIAN**

#### **3.1. Rancangan Penelitian**

Metode yang digunakan adalah eksperimental eksploratif dengan *computational experiment* senyawa marker dan senyawa pilihan dari genus alpitonia dengan metode *in silico* terhadap protein target *RNA Polimerase* dan *Enoyl Acyl Carrier Protein Redictase* (InhA) menggunakan aplikasi *docking* PLANTS.

#### **3.2. Tempat dan Waktu**

Penelitian ini dilakukan di Universitas Borneo Lestari dengan waktu pelaksanaan penelitian dari periode Januari – Mei 2024.

#### **3.3. Variabel Penelitian**

##### **3.3.1. Variabel Bebas**

Variabel bebas dalam penelitian ini yaitu 30 senyawa pilihan dari genus Alpitonia dan senyawa pembanding.

##### **3.3.2. Variabel Terikat**

Variabel terikat dalam penelitian ini yaitu aktivitas bakteri *Mycobacterium tuberculosis* terhadap senyawa pilihan genus alpitonia yang ditunjukkan dengan skor *docking*.

### 3.4. Alat dan Bahan

#### 3.4.1. Alat

##### a. Perangkat Keras

Perangkat keras yang digunakan yaitu Laptop HP 14 ultimate 64 bit, sistem operasi menggunakan Microsoft® Windows®11 Version 22H2, Processor AMD Ryzen 3 3250U with Radeon Graphics 2.60 GHz, spesifikasi RAM 8GB + 512 SSD.

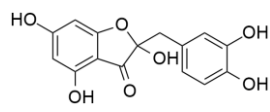
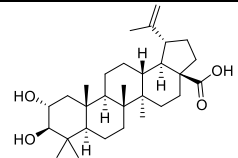
##### b. Perangkat lunak

Perangkat lunak yang digunakan yaitu PLANTS v1.1 (2016) untuk menjalankan docking, Marvin sketch v5.2.5 (2009), Discovery studio v21.1.0.20298 (2020), serta YASARA v.10.18 untuk preparasi ligand.

#### 3.4.2. Bahan

Bahan yang digunakan yaitu struktur 2D dari senyawa – senyawa yang terkandung dalam genus alphitonia antara lain:

**Tabel 1.** Struktur Senyawa dalam Genus Alphitonia

No	Senyawa	Golongan	Struktur Kimia 2D
1.	<i>Alphitonin</i>	<i>Hydroxybenzyl coumarone</i>	
2.	<i>Alphitolic acid</i>	<i>Lupane triterpenoid</i>	

**Lanjutan Tabel 4.** Struktur Senyawa dalam Genus Alphitonia

No	Nama Senyawa	Golongan	Struktur Kimia 2D
3.	<i>Ceanothic acid</i>	Triterpenoid	
4.	<i>Betulinic acid</i>	Triterpenoid	
5.	<i>Betulin</i>	Triterpenoid	
6.	<i>Isorhamnetin 3-O-β-D-glucopyranoside</i>	Flavonol glycosides	
7.	<i>Linoleic acid</i>	Fatty acid	
8.	<i>α-Linolenic acid</i>	Fatty acid	
9.	<i>Lupeol</i>	Triterpenoid	
10.	<i>β-Sitosterol</i>	Phytosterol	

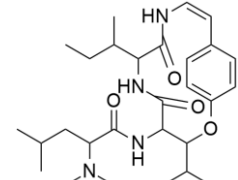
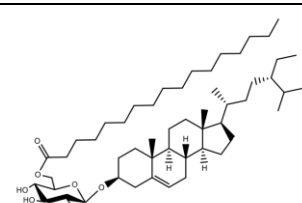
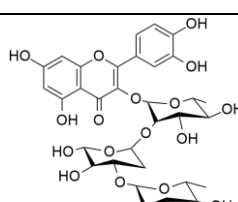
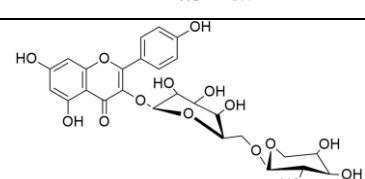
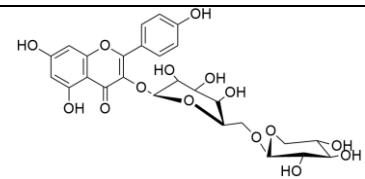
**Lanjutan Tabel 4.** Struktur Senyawa dalam Genus Alphitonia

No	Nama Senyawa	Golongan	Struktur Kimia 2D
11.	<i>Quercetin 3-O-β-D-glucopyranoside</i>	<i>Flavonol glycoside</i>	
12.	<i>Ceanothenic acid</i>	<i>Triterpenoid</i>	
13.	<i>Stigmasterol</i>	<i>Phytosterol</i>	
14.	<i>29-Hydroxyceanothenic acid</i>	<i>Norlupane triterpenoid</i>	
15.	<i>Rutin</i>	<i>Flavonoid</i>	
16.	<i>2α-formyl-A(1)norlup-20(29)en-28-oic acid.</i>	<i>Triterpenoid</i>	
17.	<i>Platanic acid</i>	<i>Triterpenoid</i>	

**Lanjutan Tabel 4.** Struktur Senyawa dalam Genus Alphitonia

No	Nama Senyawa	Golongan	Struktur Kimia 2D
18.	<i>Alphitexolide</i>	Triterpenoid	
19.	<i>Maesopsin</i>	Flavonoid	
20.	<i>Uridin</i>	Pyrimidine	
21.	<i>Isorhamnetin 3-O-(6''-O-(Z)-p-coumaroyl)-β-D-glucopyranoside</i>	Flavonol glycoside	
22.	<i>3-O-β-D-Galactopyranosyl-quercetin</i>	Flavonoid	
23.	<i>3-O-β-D-Galactopyranosyl-isorhamnetin</i>	Flavonoid	
24.	<i>28-O-β-D-Glucopyranosyl-(1→3)-[β-Dglucopyranosyl-(1→2)]-β-D-lucopyranosyl-(1→2)-β-D-glucopyranosylceanothic acid</i>	Triterpenoid, Saponin	
25.	<i>3-O-β-D-Glucopyranosyl-(1→3)-α-arabinopyranosyl-17,20-didehydro-20-deoxyjujubogenin</i>	Triterpenoid, Saponin	

**Lanjutan Tabel 4.** Struktur Senyawa dalam Genus Alphitonia

No	Nama Senyawa	Golongan	Struktur Kimia 2D
26.	<i>Adouetine X</i>	<i>Cyclopeptide alkaloid</i>	
27.	<i>6'-Heptadecanoyl-3-O-β-D-glucopyranosylsitosterol</i>	<i>Phytosterol</i>	
28.	<i>Quercetin 3-O-α-L-rhamnopyranosyl (1→2)-α-L-arabinopyranosyl (1→2)-α-L-rhamnopyranoside</i>	<i>Flavonol glycosides</i>	
29.	<i>3-O-α-L-Arabinopyranosyl-(1→2)-α-Lrhamnopyranosylkaempferol</i>	<i>Flavonoid</i>	
30.	<i>3-O-β-D-Xylopyranosyl-(1→2)-α-Lrhamnopyranosylkaempferol</i>	<i>Flavonoid</i>	

Struktur obat isoniazid dan rifampisin sebagai senyawa pembanding. Protein target yang diunduh dari <https://www.rcsb.org/> dengan kode.pdb 1ENY, 2NV6 dan 2X23 (*Enoyl Acyl Carrier Protein Reductase/InhA*) beserta *native ligand* nya dan 3H87, 1I6V dan 1YNN (*RNA Polymerase Sub Unit β*) dengan *native ligand* nya.

### **3.5. Prosedur Penelitian**

#### **3.5.1. Preparasi Protein**

Struktur kompleks protein yang diunduh dari situs *Protein Data Bank* (PDB) <https://rcsb.org/> dalam format (.pdb) di preparasi dengan melakukan proses “*load*” protein pada program YASARA. Struktur protein dilakukan pemisahan dari protokol *docking* (ion, air, *ligand*) `1sehingga akan didapat file “protein.mol2” dan “ref\_ligand.mol2” (Purnomo, 2013).

#### **3.5.2. Preparasi *Native Ligand*, Senyawa Pembanding dan Senyawa Uji**

Preparasi *native ligand*, senyawa pembanding, dan senyawa uji dilakukan menggunakan program MarvinSketch 5.2.5. Ligan-ligan tersebut dibuat 2D dan mengatur pH 7,4 lalu disimpan dalam format “.mrw” serta masing-masing di komformasi sebanyak 10 kali lalu disimpan sebagai “.mol2” (Purnomo, 2013).

#### **3.5.3. Validasi Protein dan Penetapan Nilai *Root Mean Square Distances* (RMSD)**

Struktur protein target dilakukan *docking* dengan protokol *docking* (“ref\_ligand.mol2” dan “protein.mol2”) yang sudah dipreparasi menggunakan aplikasi PLANTS untuk dilihat skor *docking* dari protein target dari inhA dengan kode pdb 1ENY dan protein target dari RNA polimerase dengan kode pdb 3H87. Kemudian dihitung RMSD (*Root Mean Square Distance*) dari hasil *docking* dengan program YASARA. Protokol validasi protein *docking* diterima jika RMSD kurang dari 2.0 Å (Purnomo, 2013).

### **3.5.4. Penambatan Molekul (*Molecular Docking*)**

Aplikasi PLANTS dijalankan, “*load*” *file native ligand*, senyawa uji dan senyawa pembanding dari protokol *docking* yang sudah di preparasi sebelumnya, Kemudian dilakukan *docking* dengan menuliskan “*input script*” pada *commandprompt* PLANTS hingga diperoleh *output* skor *docking*. Hasil *docking* dilihat dari *output* dapat dilihat dalam format excel dengan nama *file bestranking.csv* di folder result protokol *docking* (Purnomo, 2013).

### **3.5.5. Visualisasi Penambatan Molekul**

Hasil penambatan molekul dilihat melalui bantuan aplikasi *Discovery Studio Visualizer*. Prosesnya melalui pemilihan protein preparasi dengan format .pdb dan konformasi terbaik hasil *docking* untuk dilihat visualisasi interaksi antara protein dan senyawa hasil *docking* secara 2D dan 3D (Martati *et al.* 2018).

### **3.5.6. Drug Scan**

Proses *drug scan* melibatkan aplikasi *Discovery Studio* untuk memunculkan interaksi ikatan antara reseptor dan ligan serta memunculkan senyawa dalam bentuk 2 dimensi. Proses ini memudahkan untuk mengetahui ikatan, ikatan *ligand*, ikatan *hydrogen*, serta residu ikatan dalam suatu molekul dalam senyawa maupun obat pembanding (Purnomo, 2013).

### 3.5.7. Analisis Data

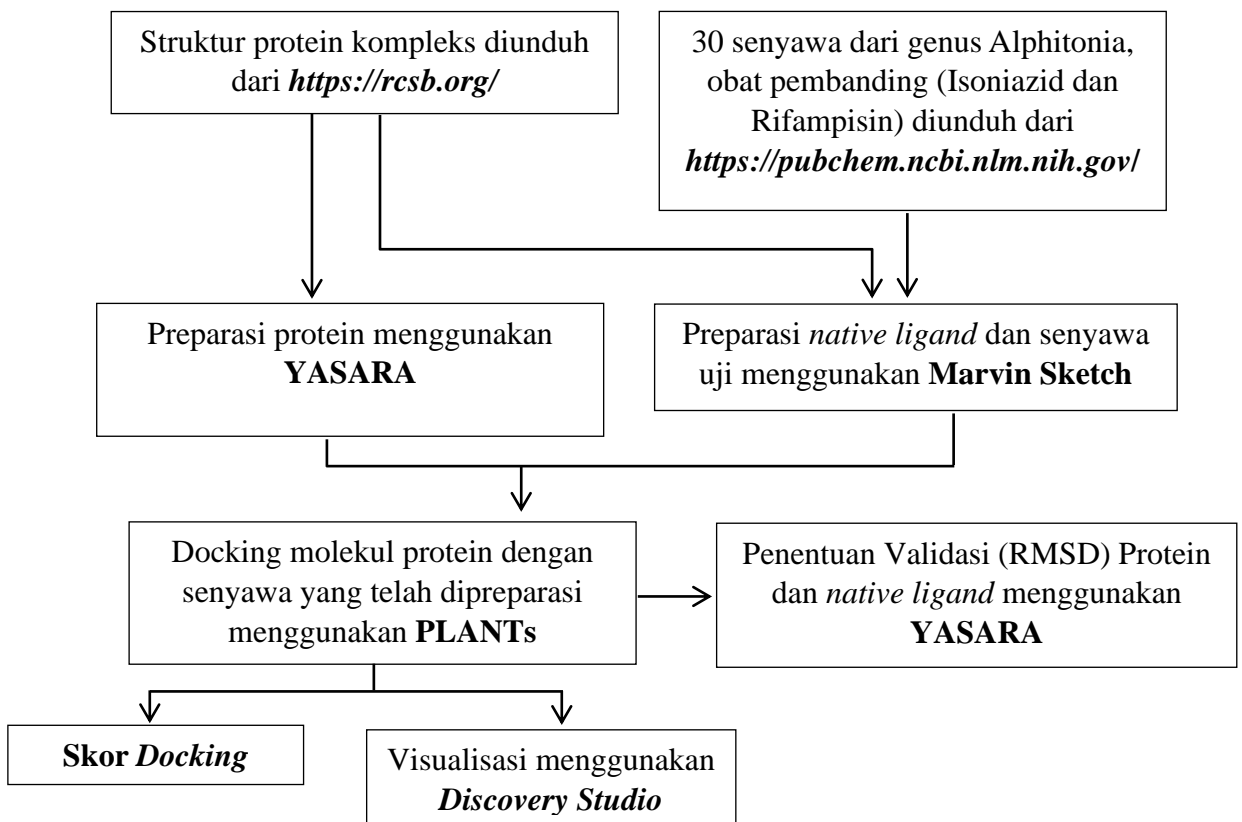
Analisis dan visualiasi penambatan molekul hasil *docking* dilihat melalui *output* dalam format *notepad*. Penentuan hasil *docking* dilakukan dengan cara memilih konformasi yang memiliki skor ChemPLP atau energi bebas paling rendah. Kemudian hasil *docking* divisualisasi menggunakan YASARA untuk melihat jarak ikatan hidrogen < 2 Å (Rachmania *et al.*, 2018).

Pada analisa skor *docking*, penambatan molekul energi terendah yang dibebaskan oleh ligan dianggap  $\Delta G_{bind}$ . Skor *docking* dihitung antara lain dengan nilai skor *docking* berdasarkan energi bebas *Gibbs* dimana semakin kecil (semakin negatif) nilai skor *docking* senyawa uji ataupun senyawa pembanding terhadap reseptor (protein) target maka dapat dikatakan senyawa tersebut memiliki afinitas ikatan yang baik terhadap reseptor (Martati *et al.*, 2019).

### 3.5.8. Penentuan *Lipinski's Rule of Five*

Penentuan prediksi sifat fisikokimia *Lipinski's Rule of Five* dilakukan terhadap *native ligand* dari reseptor dan 30 senyawa dari genus Alphitonia dengan format pdb. Lalu dilakukan prediksi sifat fisikokimia dari senyawa yang diuji secara online pada laman SwissADME (<http://www.swissadme.ch/index.php>) dan ditentukan senyawa uji yang sesuai Aturan *Lipinski's Rule of Five* (Riyaldi *et al*, 2022).

### 3.6. Bagan Penelitian



Gambar 1. Bagan Skema Alur Penelitian